

# 메쉬 기반 마칭큐브

김현준<sup>0</sup>, 김도훈, 김민호  
서울시립대학교 컴퓨터과학과  
(kamu1324, kdh0810, minhokim)@uos.ac.kr

## Mesh-Based Marching Cubes

Hyunjun Kim<sup>0</sup>, Dohoon Kim, Minho Kim  
Dept. of Computer Science, University of Seoul

### 요약

본 논문에서는 삼각형 집합(triangle soup)형식의 등가면(isosurface)을 추출하는 기존의 마칭큐브 기법을 개선하여 연결된 메쉬(connected mesh)형식으로 추출하는 실시간 기법을 제안한다. 이를 통해 기존에는 불가능했던 다양한 렌더링 기법을 사용하여 동적으로 변하는 등가면을 렌더링할 수 있고, 등가면의 연결방식(topology) 등의 정보를 추출할 수 있다. 본 기법은 기존 마칭큐브에 삼각형들을 연결하는 후처리 과정을 추가한 기법에 비해 최대 30%의 향상된 성능을 보인다.

### 1. 서론

마칭큐브 기법[1]은 볼륨데이터로부터 등가면을 추출하는 가장 고전적이고 보편적인 기법으로, 이후 GPU를 통한 병렬연산 등 이를 개선한 여러 기법이 제안되었다. 하지만 마칭큐브의 결과물은 서로 연결되지 않은 삼각형집합으로 이루어져 있기 때문에 중복된 정점들의 개수가 매우 많고 삼각형의 연결정보가 필요한 고급 렌더링기법을 사용할 수 없다는 등의 단점이 있다. 이를 개선하기 위해 같은 좌표의 정점들을 묶어 삼각형들을 연결하는(welding) 후처리 과정을 추가할 수 있으나 [2][3] 이는 정점들의 개수에 따라 성능이 크게 좌우된다는 단점이 있다. (그림3)

본 논문에서는 이러한 마칭큐브 기법을 개선하여 연결된 메쉬형식의 등가면을 실시간으로 추출하는 기법을 제안한다. 우선 볼륨데이터의 엣지(edge)별로 정점들을 추출한 후 이들을 참조한 삼각형들을 생성하는 방식을 통해 정점버퍼(vertex buffer)와 인덱스버퍼(index buffer)를 생성하고 이를 오픈GL을 사용해 렌더링하게 된다.

### 2. 메쉬 기반 마칭큐브 기법

\* 구두 발표논문

본 마칭큐브 기법은 다음과 같은 네 단계를 거쳐 등가면을 생성한다. 그림1은 그림2의 마칭스퀘어(marching squares) 예제에 본 기법을 적용했을 경우의 전체 흐름도를 보여준다.

#### 2.1 교차점 검사(intersection test)

오픈CL에서는 할당된 메모리의 크기를 동적으로 늘이거나 줄이는것이 불가능하므로, 생성되는 정점의 개수와 삼각형의 개수를 미리 계산하여야 한다. 이를 위해 우선 셀(cell) 단위로 볼륨데이터를 스캔하면서 해당 셀의 세 방향 엣지에서 각각 교차점이 존재하는지, 존재한다면 몇 개의 삼각형으로 이루어졌는지 검사하여 결과를 각각 엣지테이블(edge table)과 셀테이블(cell table)에 저장한다.

#### 2.2 직렬화 및 압축(serialization and compactification)

이 단계에서는 두 가지 작업을 수행한다. 우선 앞 단계에서 검출한 교차점들을 직렬화하여 정점의 개수를 파악하고 이를 압축하여 정점버퍼(vertex buffer)를 만든다. 그리고 셀테이블을 직렬화하여 전체 볼륨에서 생성되는 모든 삼각형의 개수를 계산하는데, 이 정보는 다음 단계에서 인덱스버퍼를 만들때 사용하게 된다. 이러한 직렬화 과정은 병렬 프레픽스 합계(parallel prefix sum) 기법을 사용하여 빠르게 수행할 수 있다[4]. 본 기법에서는 교차점들을 압축하는 과정에서 법선 벡터도 함께 계산한다.

#### 2.3 마칭큐브

본 단계에서는 기존의 마칭큐브를 이용하되, 정점의 좌표가 아닌 인덱스를 사용하여 삼각형들을 생성하여 인덱스버퍼를 만든다.

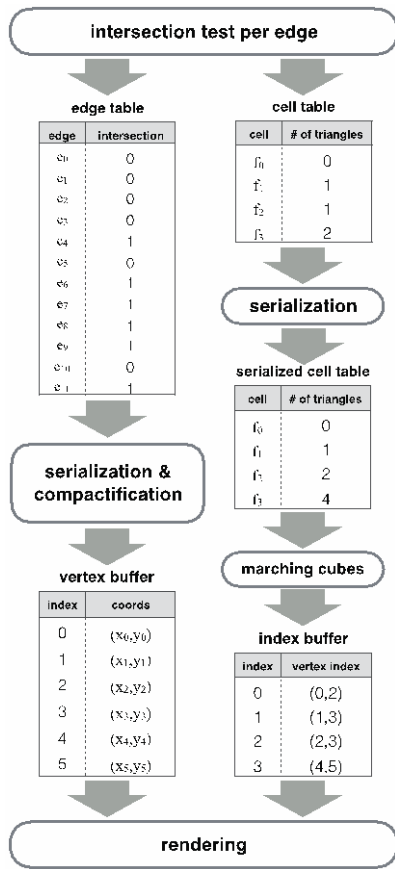


그림1. 전체 흐름도

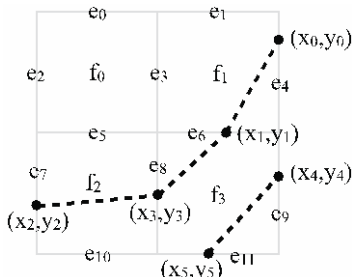


그림2. 마칭스퀘어 예제

### 2.4 실시간 렌더링

오픈CL과 오픈GL은 그래픽스 메모리를 공유할 수 있다. 앞 단계에서 생성한 정점버퍼와 인덱스버퍼를 오픈GL 파이프라인에 전송하여 실시간 렌더링이 가능하다. 이는 인덱스 렌더링(indexed rendering) 방식이기 때문에 지오메트리 셰이더(geometry shader)를 활용하는 각종 고급 렌더링 기법을 사용할 수 있다.

### 3. 퇴화삼각형(degenerate triangles)의 제거

레벨값(isolevel)과 복셀의 값이 같을 경우, 마칭큐브 과정에서 퇴화삼각형이 생성되는 경우가 있다. 이는 해당

복셀의 값에 약간의 노이즈를 추가하여 제거할 수 있다. 이 과정에서 추가적인 연산이 필요로 하지만 그 연산량이 적기 때문에 전체적인 성능에는 큰 영향을 미치지 않는다.

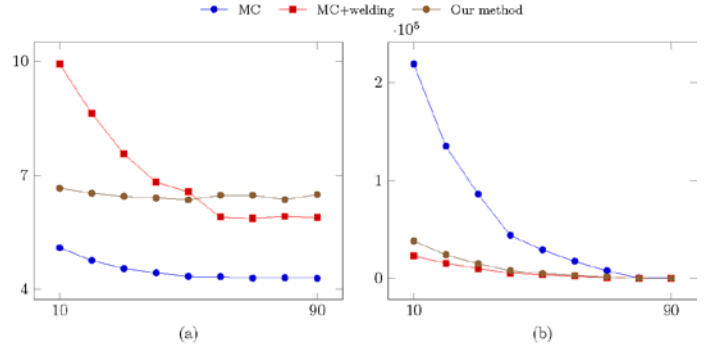


그림3. (a) 레벨값에 따른 연산시간(milliseconds) (b) 레벨값에 따른 정점의 개수

### 4. 성능 측정 및 결과 비교

본 장에서는 기존 기법과 본 논문에서 제안하는 기법의 성능을 비교한다. 기존 기법에 적용한 후처리 과정(welding)은 Thrust로 구현하였다[2]. 사용한 모델은 128<sup>3</sup> 크기의 Hydrogen이다. 그림 3은 (a) 레벨값에 따른 각 기법의 성능과 (b) 정점의 개수를 나타낸다. 기존의 마칭큐브는 연산속도가 가장 빠르지만 중복된 정점이 많이 생기는 것을 알 수 있다. 후처리를 통해 정점을 연결할 경우, 레벨값에 따라 성능의 편차가 심한데 이는 후처리 과정이 정점의 개수에 영향을 많이 받기 때문이다. 이에 비해 본 논문이 제안하는 방법은 레벨값에 상관없이 안정적인 성능을 보이고 중복된 정점도 제거되는 것을 알 수 있다.

### 5. 결론 및 후속연구

본 논문에서는 기존의 마칭큐브 기법을 개선하여 연결된 메쉬형태의 등가면을 추출하여 기존 기법의 단점을 개선하는 기법을 제안한다. 이후 최적화를 통해 좀 더 성능을 높이는 방법을 연구할 계획이다.

### 참고문헌

[1] Lorensen, William E., and Harvey E. Cline, *Marching cubes: A high resolution 3D surface construction algorithm*, ACM siggraph computer graphics. Vol. 21. No. 4. ACM, 1987.  
 [2] N. Bell. High-productivity CUDA development with the thrust template library, 2010. Conf. 2010, San Jose CA, Sept. 20-23, 2010.  
 [3] Griffin, Wesley, et al. "GPU curvature estimation on deformable meshes." Symposium on Interactive 3D Graphics and Games. ACM, 2011.  
 [4] Harris, Mark, Shubhabrata Sengupta, and John D.

Owens. "Parallel prefix sum (scan) with CUDA." *GPU gems* 3.39 (2007): 851-876.